

# Schwarz-Christoffel: piliero en rivero

## Schwarz-Christoffel: a pillar in a river

F.M. Paiva

Departamento de Física, Campus Humaitá II, Colégio Pedro II  
Rua Humaitá 80, 22261-001 Rio de Janeiro-RJ, Brasil; fmpaiva@cbpf.br

A.F.F. Teixeira

Centro Brasileiro de Pesquisas Físicas  
22290-180 Rio de Janeiro-RJ, Brasil; teixeira@cbpf.br

### Resumo

La transformoj de Schwarz-Christoffel mapas, konforme, la superan kompleksan duon-ebenen al regiono limigita per rektaj segmentoj. Ĉi tie ni priskribas kiel konvene kunigi mapon de la suba duon-ebeno al mapo de la supera duon-ebeno. Ni emfazas la bezonon de klara difino de angulo de kompleksa nombro, por tiu kunigo. Ni diskutas kelkajn ekzemplojn kaj donas interesan aplikon pri movado de fluido.

Schwarz-Christoffel transformations map, conformally, the complex upper half plane into a region bounded by right segments. Here we describe how to couple conveniently a map of the lower half plane to the map of the upper half plane. We emphasize the need of a clear definition of angle of a complex, to that coupling. We discuss some examples and give an interesting application for motion of fluid.

## 1 Enkonduko

Ni konsideru mapojn de kartezia ebena  $z$ , aŭ de *regiono* el ĝi. Ili asocios, al ĉiu punkto  $z = [x,y]$  de la regiono, unu *imagan* punkton  $w = [u,v]$  en kartezia ebena  $w$ .

Niaj mapoj estos tre specialaj: ili estos *konfomaj*. Per tiuj mapoj, du linioj en ebena  $z$  kiuj krucas je angulo  $\alpha$  havos imagojn krukantajn je la sama  $\alpha$ . Sekvas, ke tiuj transformoj mapas malgrandan geometrian bildon en alia malgranda geometria bildo kun sama formo, tamen ĝenerale kun alia orientiĝo kaj alia grandeco [1, paĝo 541]. Figure 1 montras mapon konforman kaj alian nekonforman.

## 1 Introduction

Let's consider maps of the cartesian plane  $z$ , or of a *region* of it. They will associate, to each point  $z = [x,y]$  of the region, an *image* point  $w = [u,v]$  in a cartesian plane  $w$ .

Our maps will be very special: they will be *conformal*. In these maps, two lines in the plane  $z$  crossing with angle  $\alpha$  will have images also crossing with  $\alpha$ . It follows that these transformations map a small geometric figure into another small geometric figure with the same form, though generally with other orientation and other size [1, page 541]. Figure 1 shows a conformal map, and another non-conformal.

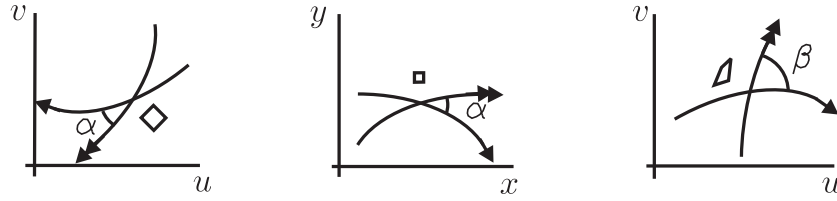


Figure 1: Centre, krucaĵo de du linioj en ebena  $[x,y]$ , kaj malgranda kvadrato; maldekstre, iliaj imagoj per iu konforma mapo; dekstre, iliaj imagoj per iu ne-konforma mapo, estante  $\beta \neq \alpha$ .  
 Figure 1: In the center, crossing of two lines in the plane  $[x,y]$ , and a small square; on the left, their images under a conformal map; on the right, their images under some non-conformal map, being  $\beta \neq \alpha$ .

Je ajn mapo (konforma aŭ ne), la koordinatoj  $u$  kaj  $v$  de ĉiu imaga punkto estas funkcioj de koordinatoj  $x$  kaj  $y$  de la respondanta antaŭ-imaga punkto:  $u = u(x,y)$  kaj  $v = v(x,y)$ . Demando: kiujn matematikajn propretojn tiuj funkcioj  $u$  kaj  $v$  havas, tial ke la mapo  $[x,y] \rightarrow [u,v]$  estu konforma? Respondo: kondiĉojn de Cauchy-Riemann [2, p. 46],

Under any map (conformal or not), the coordinates  $u$  and  $v$  of each image point are functions of the coordinates  $x$  and  $y$  of the corresponding pre-image point:  $u = u(x,y)$  and  $v = v(x,y)$ . Question: what mathematical properties these functions  $u$  and  $v$  have, so that the map  $[x,y] \rightarrow [u,v]$  be conformal? Answer: the conditions of Cauchy-Riemann [2, p. 46],

$$\frac{\partial u}{\partial x} = \frac{\partial v}{\partial y}, \quad \frac{\partial u}{\partial y} = -\frac{\partial v}{\partial x}. \quad (1)$$

Ekzemple, la mapo  $u(x,y) = x^2 - y^2$ ,  $v(x,y) = 2xy$  estas konforma, kontraŭe  $u(x,y) = x + y$ ,  $v(x,y) = x - y$  ne estas.

For instance, the map  $u(x,y) = x^2 - y^2$ ,  $v(x,y) = 2xy$  is conformal, while  $u(x,y) = x + y$ ,  $v(x,y) = x - y$  is not.

Oportune, kondiĉoj (1) implicas, ke  $u$  kaj  $v$  ambaŭ estas *harmoniaj* funkcioj:

By the way, the conditions (1) imply  $u$  and  $v$  are *harmonic*, both:

$$\Delta u \equiv \frac{\partial}{\partial x} \left( \frac{\partial u}{\partial x} \right) + \frac{\partial}{\partial y} \left( \frac{\partial u}{\partial y} \right) = 0, \quad \Delta v \equiv \frac{\partial}{\partial x} \left( \frac{\partial v}{\partial x} \right) + \frac{\partial}{\partial y} \left( \frac{\partial v}{\partial y} \right) = 0. \quad (2)$$

Se du harmoniaj funkcioj,  $u$  kaj  $v$ , plenumas kondiĉojn (1), oni diras ke  $v$  estas *harmonia dualo* de  $u$ , kaj ke  $u$  estas harmonia dualo de  $-v$ . Harmoniaj funkcioj havas tre interesajn proprecojn, kaj ni bedaŭras ke ni ne povas haltigi por plezuriĝi pri tio [3, p. 508].

If two harmonic functions,  $u$  and  $v$ , obey conditions (1), one says that  $v$  is *dual harmonic* of  $u$ , and that  $u$  is dual harmonic of  $-v$ . Harmonic functions have very interesting properties, and we regret to have not enough space and time to appreciate them here [3, p. 508].

Ni uzos la kompleksan kalkulon, por faciligi traktadon de konformaj mapoj. Por tio, al ĉiu punkto  $z = [x,y]$  de la karteza ebena  $z$  ni asocia la kompleksan nombron  $z = x + iy$ ; same, al ĉiu punkto  $w = [u,v]$  de la karteza ebena  $w$  ni asocia la kompleksan nombron  $w = u + iv$ . Plue, havante paron de ajn realaj

We use the complex calculus, to facilitate handling of conformal maps. To that end, to each point  $z = [x,y]$  of the cartesian plane  $z$  we associate the complex number  $z = x + iy$ ; equally, to each point  $w = [u,v]$  of the cartesian plane  $w$  we associate the complex number  $w = u + iv$ . Still, having a pair of arbitrary

funkcioj,  $u(x,y)$  kaj  $v(x,y)$ , ni difinos la kompleksan funkcion  $w(x,y) = u(x,y) + i v(x,y)$ ; ĉi tiu funkcio asocias, al ĉiu punkto  $[x,y]$  en la ebena  $z$ , unu punkton  $[u,v]$  en la ebena  $w$ .

Se funkcio  $u(x,y)$  estas harmonia, kaj se  $v(x,y)$  estas ĝia harmonia dualo, tiuokaze la funkcio  $w(x,y) = u(x,y) + i v(x,y)$  estos dirita *kompleksa konforma*. Okazas, ke se ni anstataŭigas  $x$  per  $\frac{1}{2}(z + z^*)$  kaj  $y$  per  $\frac{1}{2i}(z - z^*)$  en la kompleksa konforma funkcio  $w(x,y)$ , ni aperigos la *analitikan funkcion*  $w(z)$ , libera de  $z^*$  (la konjugaĵon de  $z$ ).

Ni memoru, ke iu kompleksa nombro  $\Omega$  skribiĝas en polara formo kiel  $\Omega = \rho e^{i\alpha}$ , estante  $\rho$  reala ne-negativa. La angulo  $\alpha$ , ankaŭ reala, indikas la *orientiĝon* de la vektoro  $0 \rightarrow \Omega$  en la kompleksa ebena. *En ĉi tiu teksto* ni konvencias  $\alpha \in (-\pi, \pi]$  kaj skribas  $\alpha = \angle \Omega$ .

Ni ankaŭ memoru, ke se  $\Omega = \Omega_1 \Omega_2$ , tio estas,  $\rho e^{i\alpha} = (\rho_1 e^{i\alpha_1})(\rho_2 e^{i\alpha_2})$ , tiel  $\rho = \rho_1 \rho_2$  kaj  $\alpha = \alpha_1 + \alpha_2$ ; se ĉi tiu sumo estas ekstere la intervalo  $(-\pi, \pi]$ , ni devos adicii aŭ subtrahi  $2\pi$ , por havi la konvenciitan  $\alpha$ .

## 2 Schwarz-Christoffel

Gravan familion, SC, de analitikaj mapoj  $w(z)$  studis Schwarz kaj Christoffel, sendepende. Por priskribi ĝin, ni komencas kun difino: funkcio  $w(z)$  estas dirita SC se ĝia *derivajo* havas formon [1, p. 550]

$$\frac{dw}{dz} = \frac{C}{(z - x_1)^{k_1}(z - x_2)^{k_2} \dots (z - x_n)^{k_n}}, \quad (3)$$

kie  $C$  estas kompleksa aŭ reala konstanto, kaj  $x_i$  kaj  $k_i$  estas realaj konstantoj. Notu ke  $dw/dz$  estas analitika, kaj ke punktoj  $x_i$ , en reala akso de ebena  $z$ , estas singularaj punktoj por la funkcio (3); pli specife, ili kutime estos branĉepunktoj.

La funkcio  $dw/dz$  determinas en ebena  $w$  la *formon* (angulojn kaj distancojn) de la imago de ajn figuro en ebena  $z$ . La funkcio indikas ankaŭ la *orientiĝon* de la imago, sed ne indikas la lokon de la imago en ebena  $w$ .

real functions,  $u(x,y)$  and  $v(x,y)$ , we define the complex function  $w(x,y) = u(x,y) + i v(x,y)$ ; this function associates, to each point  $[x,y]$  of plane  $z$ , a point  $[u,v]$  in plane  $w$ .

If the function  $u(x,y)$  is harmonic, and if  $v(x,y)$  is its dual harmonic, then the function  $w(x,y) = u(x,y) + i v(x,y)$  is told *complex conformal*. It happens that, if we substitute  $x \rightarrow \frac{1}{2}(z + z^*)$  and  $y \rightarrow \frac{1}{2i}(z - z^*)$  in the complex conformal function  $w(x,y)$ , we make appear the *analytical function*  $w(z)$ , exempt of  $z^*$  (the complex conjugate of  $z$ ).

We remember that a complex number  $\Omega$  is written in polar form as  $\Omega = \rho e^{i\alpha}$ , with  $\rho$  real non-negative. The angle  $\alpha$ , also real, indicates the *orientation* of the vector  $0 \rightarrow \Omega$  in the complex plane. *In this text* we agree  $\alpha \in (-\pi, \pi]$  and write  $\alpha = \angle \Omega$ .

We also remember that if  $\Omega = \Omega_1 \Omega_2$ , that is,  $\rho e^{i\alpha} = (\rho_1 e^{i\alpha_1})(\rho_2 e^{i\alpha_2})$ , then  $\rho = \rho_1 \rho_2$  and  $\alpha = \alpha_1 + \alpha_2$ ; if this sum is out the interval  $(-\pi, \pi]$ , we must add or subtract  $2\pi$ , to have the  $\alpha$  agreed.

## 2 Schwarz-Christoffel

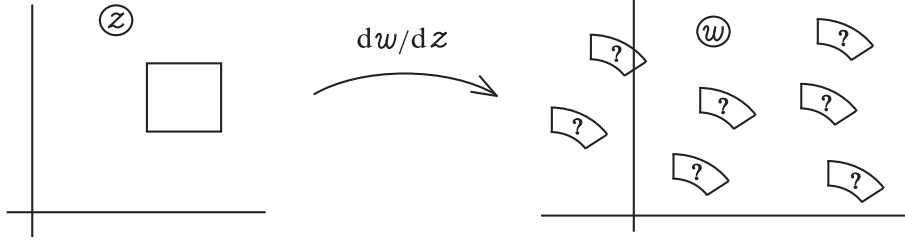
Schwarz and Christoffel, independently, studied an important family (SC) of analytical maps  $w(z)$ . To describe it, we start with a definition: a function  $w(z)$  is said SC if its *derivative* has the form [1, p. 550]

where  $C$  is a constant complex or real, and the  $x_i$  and  $k_i$  are real constants. Note that  $dw/dz$  is analytical, and that the points  $x_i$ , in the real axis of plane  $z$ , are singular points for the function (3); more specifically, they will generally be branch points.

The function  $dw/dz$  determines, in the plane  $w$ , the *form* (angles and distances) of the image of any figure in the plane  $z$ . The function also indicates the *orientation* of the image, but does not indicate the localization

Vidu figuron 2.

| of the image in the plane  $w$ . See figure 2.



Figuro 2: Tutsola, la derivaĵo  $dw/dz$  ne decidas kiun, el la figuroj en ebena  $w$ , estas la imago de la kvadrato en ebena  $z$ , per la mapo  $w(z)$ .

Figure 2: Alone, the derivative  $dw/dz$  does not decide which, from the figures in the plane  $w$ , is the image of the square in the plane  $z$ , via the map  $w(z)$ .

La mapo  $w(z)$  estas havita per malderivo de (3), kaj adicio de nova kompleksa konstanto,  $K$ :

The map  $w(z)$  is obtained by indefinite integration of (3), and addition of a new complex constant,  $K$ :

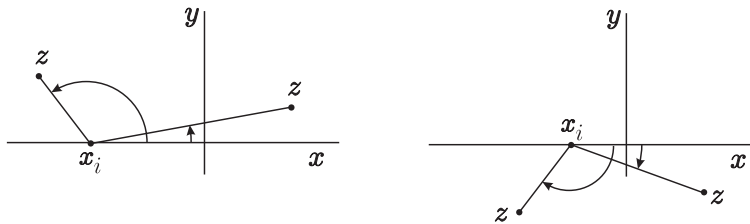
$$w(z) = C \int \frac{dz}{(z - x_1)^{k_1} (z - x_2)^{k_2} \dots (z - x_n)^{k_n}} + K. \quad (4)$$

Ekv. (4) elektas, el la nefinia kvanto de eblaj solvoj de (3), tion kion ni volas.

The eq. (4) selects, from the infinity of possible solutions of (3), the one that we want.

En figuro 3, la punkto  $x_i$  estas en la akso  $x$ ; notu, ke se la punkto  $z$  estas en la supera duon-ebeno de  $z$ , tio estas,  $\Im(z) > 0$ , tial ĉiam okazos  $0 < \angle(z - x_i) < \pi$ ; kaj notu, ke se  $z$  estas en la suba duon-ebeno, t.e.,  $\Im(z) < 0$ , tial ĉiam okazos  $-\pi < \angle(z - x_i) < 0$ . Tiuj asertoj veriĝas se nur la konvencio uzita estas  $\alpha \in (-\pi, \pi]$ .

In figure 3, the point  $x_i$  is in the  $x$ -axis; note that if a point  $z$  is in the upper half-plane of  $z$ , that is,  $\Im(z) > 0$ , it always happens  $0 < \angle(z - x_i) < \pi$ ; and note that if  $z$  is in the lower half-plane, that is,  $\Im(z) < 0$ , it always happens  $-\pi < \angle(z - x_i) < 0$ . These assertions are true only if the convention used is  $\alpha \in (-\pi, \pi]$ .



Figuro 3: Maldekstre,  $z$  estas en la supera duon-ebeno, okazante  $0 < \angle(z - x_i) < \pi$ ; dekstre,  $z$  estas en la suba duon-ebeno, okazante  $-\pi < \angle(z - x_i) < 0$ .

Figure 3: On the left,  $z$  is in the upper half-plane, causing  $0 < \angle(z - x_i) < \pi$ ; on the right,  $z$  is in the lower half-plane, causing  $-\pi < \angle(z - x_i) < 0$ .

Ni konvencias, ke la  $x_i$  estu aranĝitaj tiel ke  $x_1 < x_2 < \dots < x_n$ , kaj ni limigas nian studon al okazoj  $-2 \leq k_1 + k_2 + \dots + k_n \leq 2$ .

We agree that the  $x_i$  be ordinated so that  $x_1 < x_2 < \dots < x_n$ , and we limit our study to the cases  $-2 \leq k_1 + k_2 + \dots + k_n \leq 2$ .

En la du sekvantaj sekcioj ni montros, ke ĉiu SC mapas orientitan horizontalan rekton

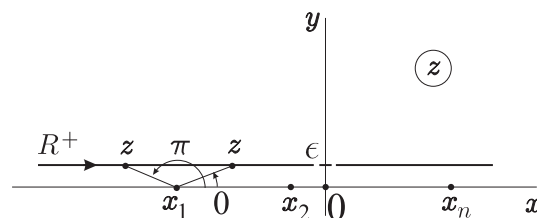
In the next two sections we show that every SC maps an oriented horizontal straight line

$R^+$ , kuŝanta iomete *super* linio  $y = 0$ , en orientita linio farita de rektaj segmentoj, en la ebena  $w$ . Plue, tiu sama esprimo  $w(z)$  mapas orientitan horizontalan rekton  $R^-$ , kuŝanta iomete *sub* linio  $y = 0$ , en *alia* linio ankaŭ farita de rektaj segmentoj. Ni opinias, ke la analizo de la mapoj de  $R^+$  kaj de  $R^-$  estas la kulmino de la studo de transformoj de Schwarz-Christoffel.

Indas rememori, ke ‘ĉiuj punktoj’ en nenio en kompleksaj ebenaĵoj estas unu sola punkto, skribita  $\infty$ . En nia teksto, la imago de tiu punkto  $z = \infty$  estos skribita  $w_\infty$ . En la mapo de la supera duon-ebenaĵo, la imago de najbaro de punkto  $x_i$  skribiĝos  $w_i$ , kontraŭe en la mapo de suba duon-ebenaĵo ĝi skribiĝos  $W_i$ .

### 3 Mapo SC de rekto $R^+$

Ni nun priskribos la mapon de la supera duon-ebenaĵo de  $z$ , farita per elektita funkcio SC. Tiu duon-ebenaĵo enhavas nur punktojn kun  $y > 0$ , do ĝi ne enhavas la realan akson  $y = 0$ . Ni unue serĉas la formon de la imago, per  $w(z)$ , de horizontala rekto  $R^+$  kuŝanta *infinitesime super* la rekto  $y = 0$  de la ebenaĵo  $z$ . Por tio, ni supozas punkton  $z$  iranta en la rekto  $z = x + i\epsilon$ , estante  $\epsilon$  *pozitiva* infinitezimo, de  $x = -\infty$  al  $x = +\infty$ , kiel figuro 4 montras. Kaj ni konstruos la imagon  $w(R^+)$  de tiu movado, en la ebenaĵo  $w$ .



Figuro 4: Punkto  $z$  trakuras rekton  $R^+$  en la signalita direkto, estante  $\epsilon$  *pozitiva* infinitezimo; kiam  $z$  pasas super  $x_1$ , la angulo de  $(z - x_1)$  malmilde ŝanĝas de  $\pi$  al 0.

Figure 4: Point  $z$  goes along the straight line  $R^+$  in the indicated direction, with  $\epsilon$  *positive* infinitesimal; when  $z$  overpasses  $x_1$ , the angle of  $(z - x_1)$  changes abruptly from  $\pi$  to 0.

Komence ni konsideras la angulojn de

$R^+$ , laying slightly *above* the line  $y = 0$ , into an oriented line made of straight segments, in the plane  $w$ . More, that same expression  $w(z)$  maps an oriented horizontal straight line  $R^-$ , laying slightly *below* the line  $y = 0$ , into *another* oriented line also made of straight segments. In our opinion, the analysis of the maps of  $R^+$  and of  $R^-$  is the highest point in the study of Schwarz-Christoffel transformations.

It is worth remember that ‘all the points’ at infinity in complex planes are one single point, written  $\infty$ . In our text, the image of this point  $z = \infty$  will be written  $w_\infty$ . In the map of the upper half-plane, the image of the neighborhood of a point  $x_i$  will be written  $w_i$ , while in the map of the lower half-plane it will be written  $W_i$ .

### 3 Map of straight line $R^+$

We shall now describe the map of the upper half-plane of  $z$ , made by a selected function SC. This half-plane contains only points with  $y > 0$ , so it does not contain the real axis  $x$ . We first search the form of the image, under  $w(z)$ , of a horizontal straight line  $R^+$  laying *infinitesimally above* the line  $y = 0$  of the plane  $z$ . To that end, we suppose a point  $z$  going along the straight line  $z = x + i\epsilon$ , with  $\epsilon$  a *positive* infinitesimal, from  $x = -\infty$  to  $x = +\infty$ , as figure 4 shows. And we shall construct the image  $w(R^+)$  of that motion, in the plane  $w$ .

We initially consider the angles of both

ambaŭ flankoj de la derivaĵo (3), elektante (tio gravas!) la valoron  $k_i \angle(z - x_i)$  por la angulo  $\angle(z - x_i)^{k_i}$ :

$$\angle[dw(z)/dz] = \angle C - k_1 \angle(z - x_1) - k_2 \angle(z - x_2) - \dots - k_n \angle(z - x_n). \quad (5)$$

Dum  $z = x + i\epsilon$  trakuras de  $x = -\infty$  al tre proksima al  $x_1$ , ĉiuj anguloj  $\angle(z - x_i)$  en (5) valoras  $\pi$ , do

$$\angle[dw(z)/dz] = \angle C - \pi \sum k_i \quad \text{se } x < x_1; \quad (6)$$

tial  $\angle[dw(z)/dz]$  estas konstanta en la intervalo  $x \in (-\infty, x_1)$ . Tio implicas, ke la imaga kurbo  $w(z)$  estu rekta segmento en la komenca peco  $w_\infty \rightarrow w_1$ , kun *orientiĝo*  $\alpha_0 = \angle C - \pi \sum k_i$ . La apendico A pravigas tiun valoron por la orientiĝo.

Figuroj 4 kaj 5 montras, ke kiam  $z$  pasas super  $x_1$ , la angulo  $\angle(z - x_1)$  bruske mal-kreskas de  $\pi$  al nulo, kontraŭe la aliaj anguloj  $\angle(z - x_i)$  ne ŝanĝas; tio okazigas bruskan ŝanĝon  $k_1\pi$  de la direkto de  $w(R^+)$  en punkto  $w_1$ . Notu, ke tiu ŝanĝo estas pozitiva se  $k_1 > 0$ , kaj estas negativa se  $k_1 < 0$ .

Post  $z$  pasas super  $x_1$  kaj iras en la direkto de  $x_2$ , ĉiuj anguloj  $\angle(z - x_i)$  estas konstantaj; tio farigas, ke la imago  $w_1 \rightarrow w_2$  denove estu rekta segmento.

Resume, la paso de  $z$  super iu  $x_i$  faras la orientiĝon de la nova rekta segmento en ebena  $w$  ŝanĝi  $k_i\pi$  relative al la orientiĝo de la antaŭa segmento [1, p. 552].

Fine, post  $z$  pasas super  $x_n$ , la lasta  $x_i$  de la sinsekvo, okazas ke ĉiuj anguloj  $\angle(z - x_i)$  estas nulaj, do

$$\angle[dw(z)/dz] = \angle C \quad \text{se } x > x_n; \quad (7)$$

tio signifas, ke la orientiĝo de la imaga kurbo  $w(z)$  de la rekto  $R^+$  en la fina peco  $w_n \rightarrow w_\infty$  estas  $\alpha_n = \angle C$ . Vidu figuron 5.

sides of the derivative (3), choosing (this is important!) the value  $k_i \angle(z - x_i)$  for the angle  $\angle(z - x_i)^{k_i}$ :

While  $z = x + i\epsilon$  goes from  $x = -\infty$  to very near  $x_1$ , all angles  $\angle(z - x_i)$  in (5) are  $\pi$ , so

thus  $\angle[dw(z)/dz]$  is constant in the interval  $x \in (-\infty, x_1)$ . This implies that the image line  $w(z)$  be a straight segment in the initial part  $w_\infty \rightarrow w_1$ , with *orientation*  $\alpha_0 = \angle C - \pi \sum k_i$ . The appendix A justifies this value for the orientation.

Figures 4 and 5 show that, when  $z$  overpasses  $x_1$ , the angle  $\angle(z - x_1)$  abruptly decreases from  $\pi$  to zero, while the other angles  $\angle(z - x_i)$  do not change; this causes an abrupt change  $k_1\pi$  of the direction of the image  $w(R^+)$  at point  $w_1$ . Note that this change is positive if  $k_1 > 0$ , and is negative if  $k_1 < 0$ .

After  $z$  overpasses  $x_1$  and proceeds in the direction to  $x_2$ , all angles  $\angle(z - x_i)$  are constant; this makes the image  $w_1 \rightarrow w_2$  again be a straight segment.

Summing up, the passing of  $z$  over any  $x_i$  makes the orientation of the new straight segment in the plane  $w$  change  $k_i\pi$  relatively to the orientation of the previous segment [1, p. 552].

At the end, after  $z$  overpasses  $x_n$ , the last  $x_i$  of the sequence, all angles  $\angle(z - x_i)$  are null, so

this means that the orientation of the image line  $w(z)$  of the straight line  $R^+$  in the final part  $w_n \rightarrow w_\infty$  is  $\alpha_n = \angle C$ . See figure 5.

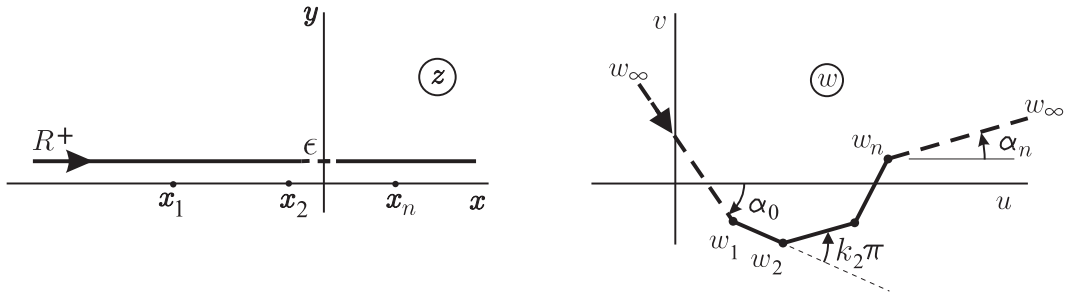


Figure 5: Orientita rekto  $R^+$  kuŝas iomete super la rekto  $y = 0$ , kiu entenas  $n$  punktojn  $x_i$ . En la ebena  $w$ , oni havas la imagon de  $R^+$  per mapo (4). En ĉiu vertico  $w_i$  la ŝanĝo de direkto estas  $k_i\pi$ . La anguloj  $\alpha_0 = \angle C - \pi \sum k_i$  kaj  $\alpha_n = \angle C$  indikas la orientiĝon de la komenca kaj de la fina peco de la imago.

Figure 5: The oriented straight line  $R^+$  lays just above the straight line  $y = 0$ , which contains  $n$  points  $x_i$ . In the plane  $w$ , one has the image of  $R^+$  via a map (4). At each vertex  $w_i$  the change of direction is  $k_i\pi$ . The angles  $\alpha_0 = \angle C - \pi \sum k_i$  and  $\alpha_n = \angle C$  indicate the orientation of the initial part and of the final part of the image.

Havante ĉiujn ŝanĝojn  $k_i\pi$  de orientiĝo de tiu imaga kurbo, ni konsideru 4 malsamajn tipojn de mapo  $w(R^+)$ , laŭ la valoro  $|\sum k_i\pi|$  estu plieta ol  $\pi$ , egala al  $\pi$ , inter  $\pi$  kaj  $2\pi$ , aŭ egala al  $2\pi$ :

- tipo **a**: se  $|\sum k_i| < 1$ ;
- tipo **b**: se  $|\sum k_i| = 1$ ;
- tipo **c**: se  $1 < |\sum k_i| < 2$ ; kaj
- tipo **d**: se  $|\sum k_i| = 2$ .

Figure 6 montras unu imagon por ĉiu tipo, kaj sekcioj de 5 al 8 donos unu ekzemplon de ĉiu tipo.

Having all changes  $k_i\pi$  of orientation of that image curve, let's consider 4 different types of map  $w(R^+)$ , according the value  $|\sum k_i\pi|$  is less than  $\pi$ , equal to  $\pi$ , between  $\pi$  and  $2\pi$ , or equal to  $2\pi$ :

- type **a**: if  $|\sum k_i| < 1$ ;
- type **b**: if  $|\sum k_i| = 1$ ;
- type **c**: if  $1 < |\sum k_i| < 2$ ; and
- type **d**: if  $|\sum k_i| = 2$ .

Figure 6 shows one image for each type, and sections from 5 to 8 will give one example of each type.

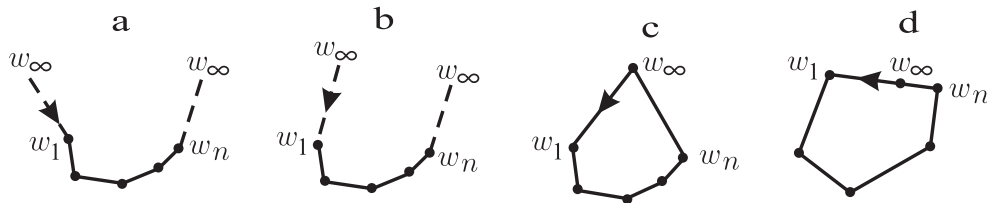


Figure 6: Tipoj de imago de orientita rekto  $R^+$ . En tipoj **a** kaj **b** la imago punkto  $w_\infty$  estas en ne-finio; tio implicas, ke la pecoj  $w_\infty \rightarrow w_1$  kaj  $w_n \rightarrow w_\infty$  estas ne-finie longaj. En tipoj **c** kaj **d** la imago  $w_\infty$  estas en finia regiono de ebena  $w$ .

Figure 6: Types of image of the oriented straight line  $R^+$ . In types **a** and **b** the image point  $w_\infty$  is at infinity; this implies the parts  $w_\infty \rightarrow w_1$  and  $w_n \rightarrow w_\infty$  be infinitely long. In types **c** and **d** the image point  $w_\infty$  is in the finite region of plane  $w$ .

Por kompletigi la imagon de la rekto  $R^+$ , ni nun kalkulas la longojn de la rektaj segmentoj, uzante (4),

To complete the image of the straight line  $R^+$ , we now calculate the lengths of the straight segments, using (4),

$$|w_{i+1} - w_i| = |C| \left| \int_{x_i}^{x_{i+1}} \frac{dx}{(x - x_1)^{k_1} (x - x_2)^{k_2} \dots (x - x_n)^{k_n}} \right|. \quad (8)$$

Ĉar la funkcio  $w(z)$  estas kontinua, la imagoj de la aliaj rektoj  $y = \text{konst} > 0$  najbaraj al rekto  $y = 0$  estas similaj al la imago de rekto  $R^+$ , kiel ni konstatos en sekcioj de 5 al 8.

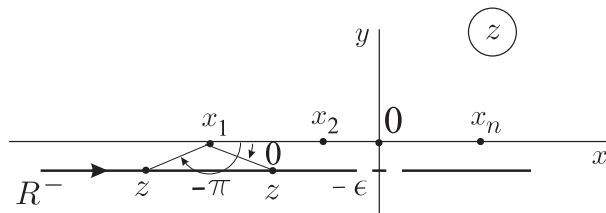
Since the function  $w(z)$  is continuous, the images of the other straight lines  $y = \text{konst} > 0$  neighbor to the straight line  $y = 0$  are similar to the image of  $R^+$ , as we shall verify in sections from 5 to 8.

## 4 Mapo SC de rekto $R^-$

Nun ni havigu la mapon de suba duon-ebeno de  $z$  uzante la saman esprimon (4) uzita por la supera duon-ebeno. Simile kiel antaŭe, ni komence serĉas la imagon de horizontala rekto  $R^-$  kuŝanta je infinitezime *negativa* ordinato  $-\epsilon$  de ebena  $z$ . Vidu figuron 7.

## 4 Map of straight line $R^-$

Let's now get the map of the lower half-plane of  $z$  using the same expression (4) used for the upper half-plane. Similarly as before, we initially search the image of a horizontal straight line  $R^-$  laying in *negative* infinitesimal ordinate  $-\epsilon$  of plane  $z$ . See figure 7.



Figuro 7: Kiam  $z$  pasas sub  $x_1$  en la signalita direkto, estante  $-\epsilon$  *negativa* infinitezimo, la angulo de  $(z - x_1)$  bruske ŝanĝas de  $-\pi$  al 0.

Figure 7: When  $z$  passes under  $x_1$  in the indicated direction, being  $-\epsilon$  a *negative* infinitesimal, the angle of  $(z - x_1)$  abruptly changes from  $-\pi$  to 0.

Ni nun supozas punkton  $z = x - i\epsilon$  iranta dekstren en rekto  $R^-$ , ekde  $x = -\infty$ . Inter  $x = -\infty$  kaj  $x = x_1$  ĉiuj anguloj  $\angle(z - x_i)$  valoras  $-\pi$ , do la imago de komenca peco havas la konstantan orientiĝon (5)

We now suppose a point  $z = x - i\epsilon$  going rightwards in the straight line  $R^-$ , since  $x = -\infty$ . Between  $x = -\infty$  and  $x = x_1$  all angles  $\angle(z - x_i)$  are  $-\pi$ , so the image of the initial part of  $R^-$  has orientation (5) constant

$$\angle[dw(z)/dz] = \angle C + \pi \sum k_i \quad \text{se } x < x_1. \quad (9)$$

Kiam  $z$  pasas sub  $x_1$ , la angulo de  $(z - x_1)$  bruske kreskas de  $-\pi$  al nulo, kontraŭe la anguloj de la aliaj  $(z - x_i)$  ne ŝanĝas; tio implicas ŝanĝon  $-k_1\pi$  de orientiĝo de  $w(R^-)$  en punkto  $W_1$ . Ni notas, ke tiu ŝanĝo havas saman absolutan valoron, sed kontraŭan

When  $z$  passes under  $x_1$ , the angle of  $(z - x_1)$  abruptly increases from  $-\pi$  to zero, while the angles of the other  $(z - x_i)$  do not change; this implies a change  $-k_1\pi$  in the orientation of  $w(R^-)$  at point  $W_1$ . We note that this change has same absolute value, but op-



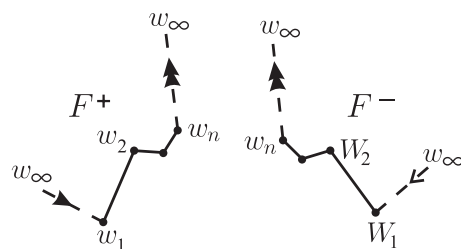
signumon, al la ŝanĝo en la responda imaga punkto  $w_1$  de rekto  $R^+$ .

Daŭrigante ni konstatas, ke en ĉiu imaga punkto  $W_i$  de rekto  $R^-$  la ŝanĝo de orientiĝo havas saman absolutan valoron, sed kontraŭan signumon, al de la responda imaga punkto  $w_i$  de rekto  $R^+$ . Post  $z$  pasas sub  $x_n$ , ĉiuj anguloj  $\angle(z - x_i)$  estas nulaj, do (5) reskribiĝas

$$\angle[dw(z)/dz] = \angle C \quad \text{if } x > x_n; \quad (10)$$

tial ni vidas, ke la orientiĝo de la fina peco  $W_n \rightarrow w_\infty$  de la imaga kurbo de rekto  $R^-$  valoras  $\angle C$ . Tiu valoro koincidas kun la orientiĝo (7) de la fina peco  $w_n \rightarrow w_\infty$  de la imago de rekto  $R^+$ .

Per analizo de (8) ni konstatas, ke ĉiu longo  $|W_{i+1} - W_i|$  egalas la respondan longon  $|w_{i+1} - w_i|$ . Do, la formo de imago de rekto  $R^-$  haviĝas per iu reflektado de la imago de rekto  $R^+$ . Ĉar la orientiĝoj de la imagoj de peco  $x_n \rightarrow \infty$  en rektoj  $R^+$  kaj  $R^-$  koincidas (ambaŭ estas  $\alpha_n = \angle C$ ), tial la reflektado okazas paralele al la fina rekta peco  $w_n \rightarrow w_\infty$ . Vidu figuron 8.



Figuro 8: Se  $F^+$  estas la *formo* de la imago de rekto  $R^+$ , tial  $F^-$  estas la *formo* de la imago de responda rekto  $R^-$ ; oni vidas, ke  $F^-$  estas reflektado de  $F^+$  en la direkto  $w_n \rightarrow w_\infty$ .

Figure 8: If  $F^+$  is the *form* of the image of straight line  $R^+$ , then  $F^-$  is the *form* of the corresponding straight line  $R^-$ ; one sees that  $F^-$  is reflection of  $F^+$  in the direction  $w_n \rightarrow w_\infty$ .

La sekvantaj kvar sekcioj prezentas ekzemplojn de la kvar tipoj de transformo  $w(z)$  priskribitaj en sekcio 3. Sekcio 9 prezentas praktikan aplikon.

posite sign, as that of the change in the corresponding image point  $w_1$  of straight line  $R^+$ .

Proceeding, we see that at every image point  $W_i$  of the straight line  $R^-$  the change of direction has same absolute value, but opposite sign, as that on the corresponding image point  $w_i$  of straight line  $R^+$ . After  $z$  passes under  $x_n$ , all angles  $\angle(z - x_i)$  are null, so (5) rewrites

thus we see that the orientation of the final part  $W_n \rightarrow w_\infty$  of the image of straight line  $R^-$  is  $\angle C$ . This value coincides with the orientation (7) of the final part  $w_n \rightarrow w_\infty$  of the image of straight line  $R^+$ .

By analysis of (8) we see that each size  $|W_{i+1} - W_i|$  equals the corresponding size  $|w_{i+1} - w_i|$ . Thus, the form of the image of straight line  $R^-$  is obtained via some reflection of the image of straight line  $R^+$ . Since the orientations of the images of the part  $x_n \rightarrow \infty$  in straight lines  $R^+$  and  $R^-$  coincide (both are  $\alpha_n = \angle C$ ), the reflection occurs parallel to the final straight part  $w_n \rightarrow w_\infty$ . See figure 8.

The next four sections give examples of the four types of transformation  $w(z)$  described in section 3. Section 9 presents a practical application.

## 5 Ekzemplo de tipo a

Se en (3) ni elektas  $n = 1$ ,  $C = 1$ ,  $x_1 = 0$ ,

## 5 An example of type a

If in (3) we choose  $n = 1$ ,  $C = 1$ ,  $x_1 = 0$ ,

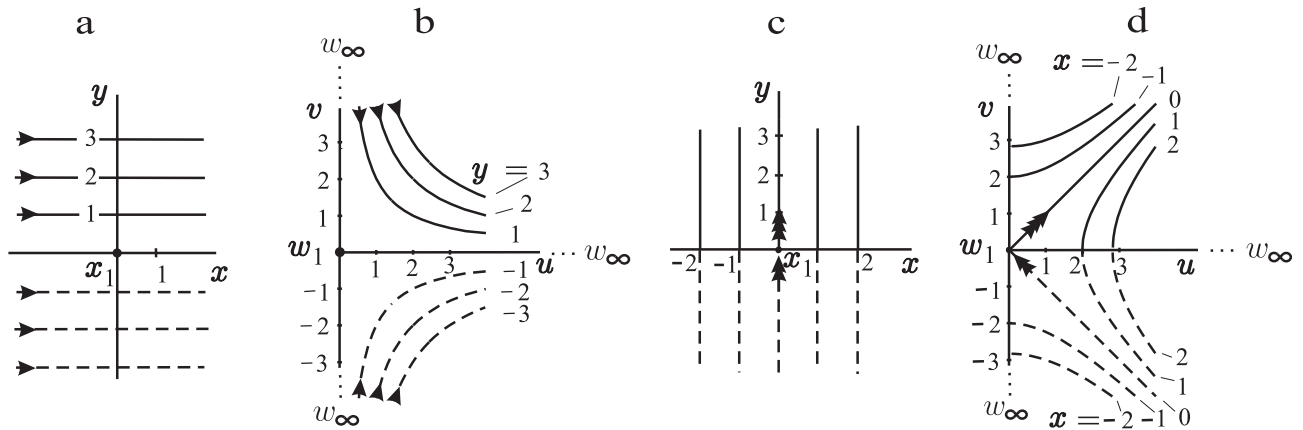
$k_1 = 1/2$ , ni havos

|  $k_1 = 1/2$ , we shall have

$$\frac{dw}{dz} = \frac{1}{z^{1/2}}, \Rightarrow w(z) = 2z^{1/2} + K; \quad (11)$$

elektante  $K = 0$ , ni havigas imagojn  $w(z)$  kiel en figuro 9.

| choosing  $K = 0$ , we obtain images  $w(z)$  as in figure 9.



Figuro 9: **a** kaj **c** montras rektojn  $y = \text{konst}$  kaj  $x = \text{konst}$  en ebena  $z$ ; **b** kaj **d** montras la respondajn imagojn en ebena  $w$  per la transformo  $w(z) = 2z^{1/2}$ .

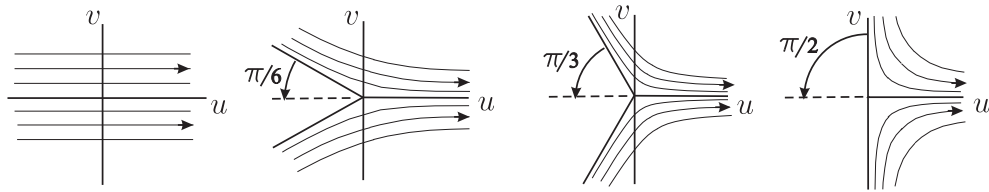
Figure 9: **a** and **c** show straight lines  $y = \text{konst}$  kaj  $x = \text{konst}$  en ebena  $z$ ; **b** and **d** show the corresponding images in ebena  $w$  via the transformation  $w(z) = 2z^{1/2}$ .

En figuro 9**b** ni vidas, ke la imago de  $R^+$  trakuras de  $v = +\infty$  al origino, poste iras al  $u = +\infty$ ; ni vidas ankaŭ, ke la imago de  $R^-$  trakuras de  $v = -\infty$  al origino, poste iras al  $u = +\infty$ . Notu, en figuro 9**d**, ke imagoj de rektoj  $x = \text{konst} < 0$  estas malkontinuaĵoj, kaj notu ke la imago de rekto  $x = 0$  estas zigzaga en punkto  $w_1$ ; kaj fine notu ke imagoj de rektoj  $x = \text{konst} > 0$  estas kontinuaĵoj kaj ne-zigzagaj. Kontraŭe, la imagoj de ĉiuj horizontalaj rektoj ( $y = \text{konst}$ ) estas kontinuaĵoj; tio estos tre interesa kiam ni uzos tiajn mapojn por priskribi fluadon de likvoj, kiel en sekvantaj sekciojn.

Eble interesas akompani, paŝo post paŝo, konforman mapon ekde komenca formo ĝis la fina formo. Figuro 10 skizas kvar imagojn, per  $dw/dz = 1/z^{k_1}$ , de horizontalaj rektoj  $y = \text{konst}$ , por  $k_1$  kreskanta ekde 0 ĝis 1/2.

In figure 9**b** we see that the image of  $R^+$  runs from  $v = +\infty$  till the origin, then goes to  $u = +\infty$ ; we also see that the image of  $R^-$  runs from  $v = -\infty$  till the origin, then goes to  $u = +\infty$ . Note, in figure 9**d**, that the images of the lines  $x = \text{konst} < 0$  are discontinuous, and note that the image of the line  $x = 0$  brakes at point  $w_1$ ; further note that the images of the lines  $x = \text{konst} > 0$  are continuous and do not brake. Oppositely, the images of all horizontal lines ( $y = \text{konst}$ ) are continuous; this will be very interesting when we shall use such maps to describe flow of liquids, as in sections to follow.

It is perhaps interesting to follow, step by step, a conformal map since the initial form till the final one. Figure 10 sketches four images, for  $dw/dz = 1/z^{k_1}$ , of horizontal lines  $y = \text{konst}$ , for  $k_1$  increasing from 0 to 1/2.



Figuro 10: Imagoj de rektoj  $y = \text{konst}$  per  $dw/dz = 1/z^{k_1}$ , kun  $k_1$  sinsekve 0,  $1/6$ ,  $1/3$  kaj  $1/2$ .  
 Figure 10: Images of straight lines  $y = \text{konst}$  via  $dw/dz = 1/z^{k_1}$ , with  $k_1 = 0, 1/6, 1/3$  and  $1/2$ .

### 6 Ekzemplo de tipo b

En (3), kun  $n = 2, C = 1, x_1 = -1, x_2 = 1, k_1 = k_2 = \frac{1}{2}$ , ni havigas

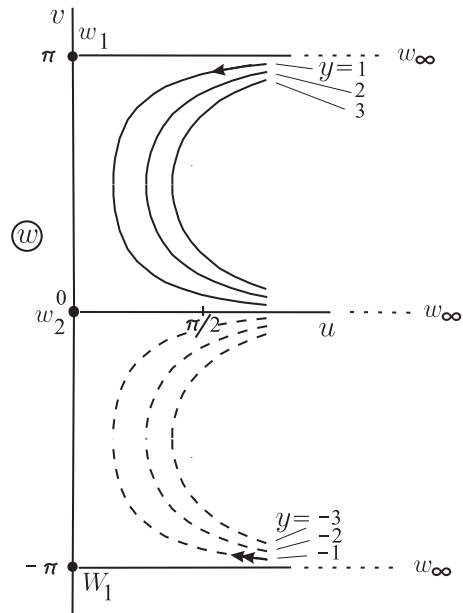
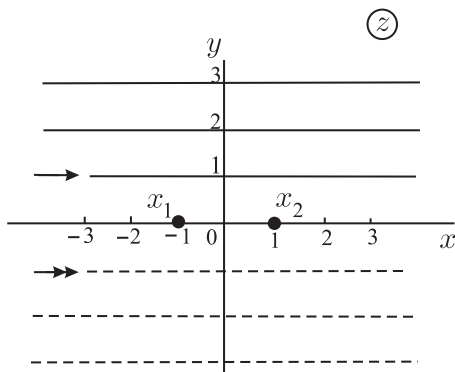
$$\frac{dw}{dz} = \frac{1}{(z+1)^{1/2}(z-1)^{1/2}}, \Rightarrow w(z) = \cosh^{-1}(z) + K. \tag{12}$$

Ni elektas  $K = 0$  kaj havas imagojn kiel en figuroj 11 kaj 12.

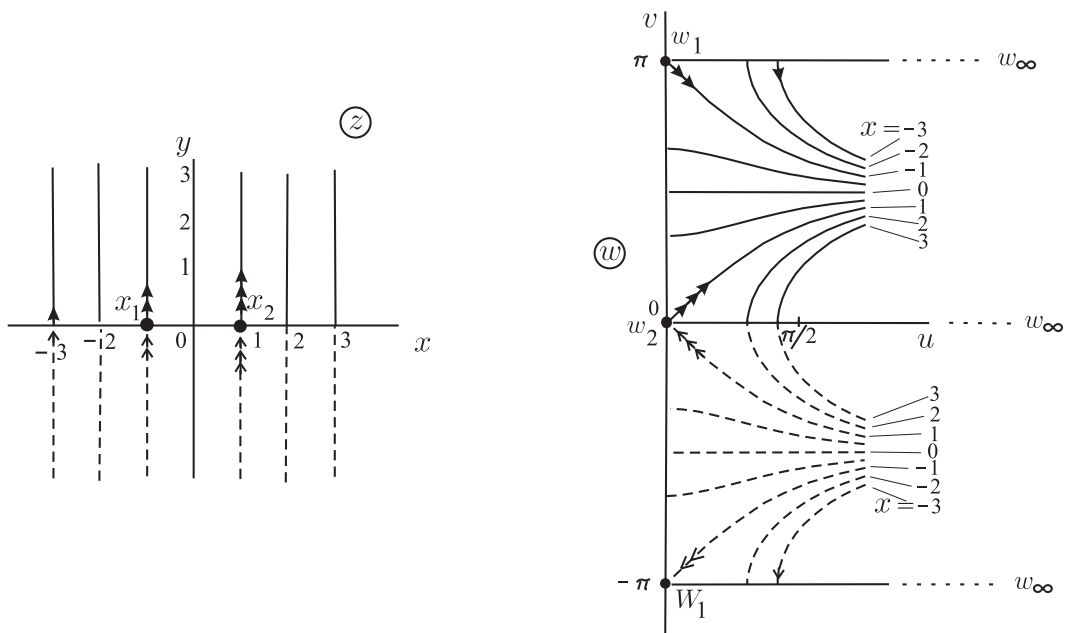
### 6 An example of type b

In (3), with  $n = 2, C = 1, x_1 = -1, x_2 = 1, k_1 = k_2 = \frac{1}{2}$ , we obtain

We choose  $K = 0$  and have images as in figures 11 and 12.



Figuro 11: Horizontalaj rektoj  $y = \text{konst}$  en ebena  $z$  kaj iliaj imagoj per mapo  $w(z) = \cosh^{-1}(z)$ .  
 Figure 11: Straight lines  $y = \text{konst}$  in plane  $z$  and their images via the map  $w(z) = \cosh^{-1}(z)$ .



Figuro 12: Vertikalaj rektoj  $x = \text{const}$  en ebena  $z$  kaj iliaj imagoj per la mapo  $w(z) = \cosh^{-1}(z)$ .  
 Figure 12: Straight lines  $x = \text{const}$  in plane  $z$  and their images via the map  $w(z) = \cosh^{-1}(z)$ .

En figuro 11 ni vidas, ke la imago de  $R^+$  venas horizontale de  $u = +\infty$  ĝis  $u = 0$ , kun  $v = \pi$ , daŭrigas en la akso  $v$  ĝis la origino, poste iras horizontale al  $u = +\infty$  en la akso  $u$ . La imago de  $R^-$  venas horizontale de  $u = +\infty$  ĝis  $u = 0$ , kun  $v = -\pi$ , daŭrigas en la akso  $v$  ĝis la origino, kaj iras horizontale al  $u = +\infty$  en la akso  $u$ . Tiel, la imago de  $R^+$  kaj  $R^-$  kun  $x > x_2$  koincidas je la pozitiva parto de akso  $u$ .

Kiel en antaŭa ekzemplo (tipo a), ĉiuj horizontaj rektoj en ebena  $z$  havas kontinuajn imagojn, kiel montras figuro 11. Denove, ne ĉiuj vertikalaj rektoj en ebena  $z$  havas kontinuajn imagojn, kiel montras figuro 12; nur imagoj de rektoj kun  $x \geq 1$  estas kontinuaj.

In figure 11 we see that the image of  $R^+$  comes horizontally from  $u = +\infty$  till  $u = 0$ , with  $v = \pi$ , stays in the axis  $v$  till the origin, then goes horizontally to  $u = +\infty$  in the axis  $u$ . The image of  $R^-$  comes horizontally from  $u = +\infty$  till  $u = 0$ , with  $v = -\pi$ , stays in the axis  $v$  till the origin, then goes horizontally to  $u = +\infty$  in axis  $u$ . Thus the images of  $R^+$  and  $R^-$  with  $x > x_2$  coincide in the positive part of  $u$ -axis.

Similarly as in the previous example (type a), all horizontal lines in plane  $z$  have continuous images, as figure 11 shows. And again, not all vertical lines in plane  $z$  have continuous image, as figure 12 shows; only the images of vertical lines with  $x \geq 1$  are continuous.

## 7 Ekzemplo de tipo c

Se en (3) ni elektas  $n = 2$ ,  $C = 1$ ,  $x_1 = -1$ ,  $x_2 = 1$ ,  $k_1 = k_2 = \frac{2}{3}$ , ni havos

$$\frac{dw}{dz} = \frac{1}{(z+1)^{2/3}(z-1)^{2/3}} \Rightarrow w(z) = -e^{i\pi/3} z F\left(\frac{1}{2}, \frac{2}{3}; \frac{3}{2}; z^2\right) + K, \quad (13)$$

kie  $F$  estas la hipergeometria funkcio donata per la serio de Taylor [1, p. 179]

## 7 An example of type c

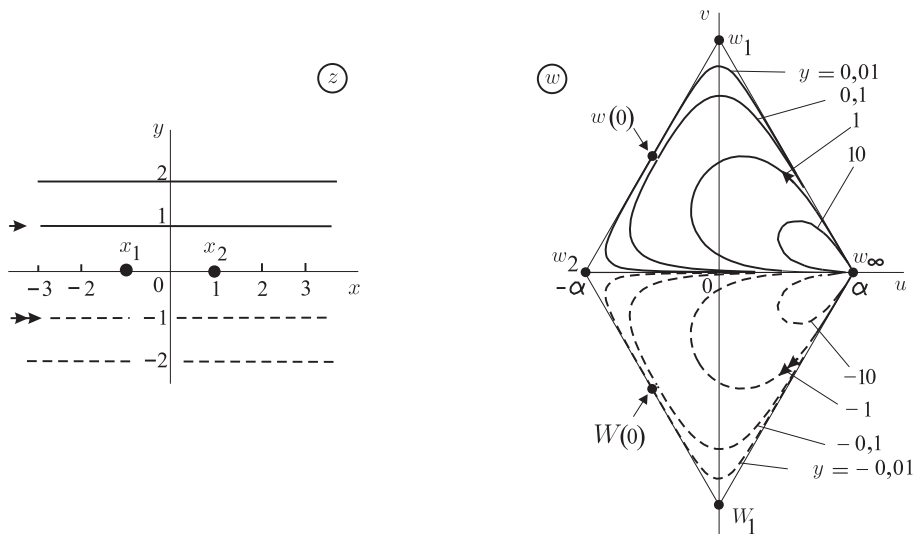
If in (3) we choose  $n = 2$ ,  $C = 1$ ,  $x_1 = -1$ ,  $x_2 = 1$ ,  $k_1 = k_2 = \frac{2}{3}$ , we shall have

where  $F$  is the hypergeometric function given by the Taylor series [1, p. 179]

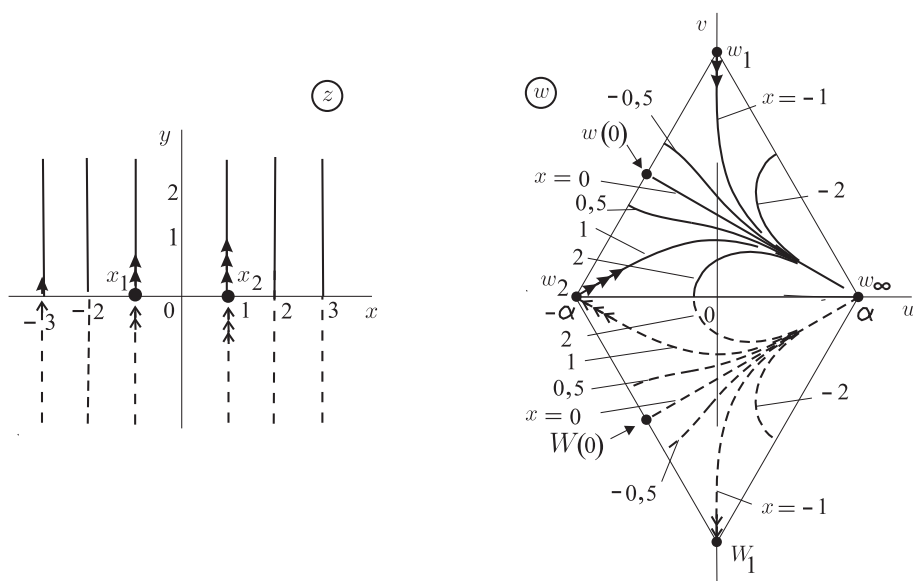
$$F(a,b;c;\zeta) = 1 + \frac{ab}{c}\zeta + \frac{a(a+1)b(b+1)}{c(c+1)}\frac{\zeta^2}{2!} + \frac{a(a+1)(a+2)b(b+1)(b+2)}{c(c+1)(c+2)}\frac{\zeta^3}{3!} + \dots \quad (14)$$

Plue, elektante la konstanto  $K = \alpha e^{i2\pi/3}$  kun  $\alpha = F\left(\frac{1}{2}, \frac{2}{3}; \frac{3}{2}; 1\right) \approx 2,1$  ni havigas, post iun da kalkuloj,  $w_2 = -w_\infty$  kaj la mapojn montritajn en figuroj 13 kaj 14.

Further choosing constant  $K = \alpha e^{i2\pi/3}$  with  $\alpha = F\left(\frac{1}{2}, \frac{2}{3}; \frac{3}{2}; 1\right) \approx 2,1$  we obtain, after some calculus,  $w_2 = -w_\infty$  and the maps shown in figures 13 and 14.



Figuro 13: Horizontalaj rektoj  $y = \text{konst}$  en ebena  $z$  kaj iliaj imagoj en ebena  $w$  per mapo (13).  
Figure 13: Straight lines  $y = \text{konst}$  in plane  $z$  and their images in plane  $w$  via map (13).



Figuro 14: Vertikalaj rektoj  $x = \text{konst}$  en ebena  $z$  kaj iliaj imagoj en ebena  $w$  per mapo (13).  
Figure 14: Vertical straight lines  $x = \text{konst}$  in plane  $z$  and their images in plane  $w$  via map (13).

En figuro 13 ni vidas, ke la imagoj de  $R^+$  kaj de  $R^-$  estas du egallateraj trianguloj. La horizontalaj lateroj koincidas, kaj estas la imagoj de  $R^+$  kaj  $R^-$  kun  $x > x_2$ .

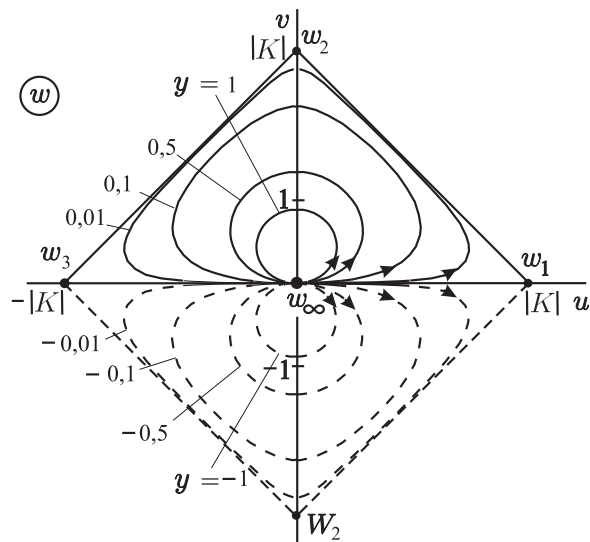
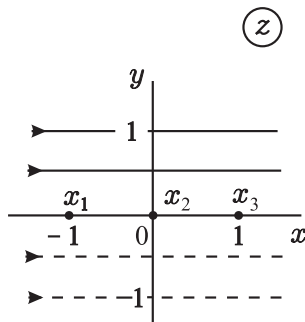
Kiel en antaŭaj du ekzemploj, ĉiu horizontala rekto en ebena  $z$  havas kontinuan imagon, kiel montras figuro 13. Denove, ne ĉiu vertikala rekto havas kontinuan imagon, kiel montras figuro 14.

## 8 Ekzemplo de tipo d

Se en (3) kun  $n = 3$  ni uzos  $x_1 = -1$ ,  $x_2 = 0$ ,  $x_3 = 1$ ,  $k_1 = \frac{3}{4}$ ,  $k_2 = \frac{1}{2}$ , kaj  $k_3 = \frac{3}{4}$ , ni havos

$$\frac{dw}{dz} = \frac{C}{(z+1)^{3/4} z^{1/2} (z-1)^{3/4}} \Rightarrow w(z) = -2C e^{i\pi/4} z^{1/2} F\left(\frac{1}{4}, \frac{3}{4}; \frac{5}{4}; z^2\right) + K, \quad (15)$$

estante  $K$  konstanto, kaj estante  $F$  la hipergeometria funkcio kiel en (14). Ni elektas  $C = 1$  kaj  $K = i\sqrt{2} F\left(\frac{1}{4}, \frac{3}{4}; \frac{5}{4}; 1\right) \approx 2,62i$ , kaj havigas imagojn kiel en figuroj 15 kaj 16.



Figuro 15: Horizontalaj rektoj  $y = \text{konst}$  en ebena  $z$ , kaj iliaj imagoj per la mapo (15).

Figure 15: Horizontal straight lines  $y = \text{const}$  in plane  $z$ , and their images via the map (15).

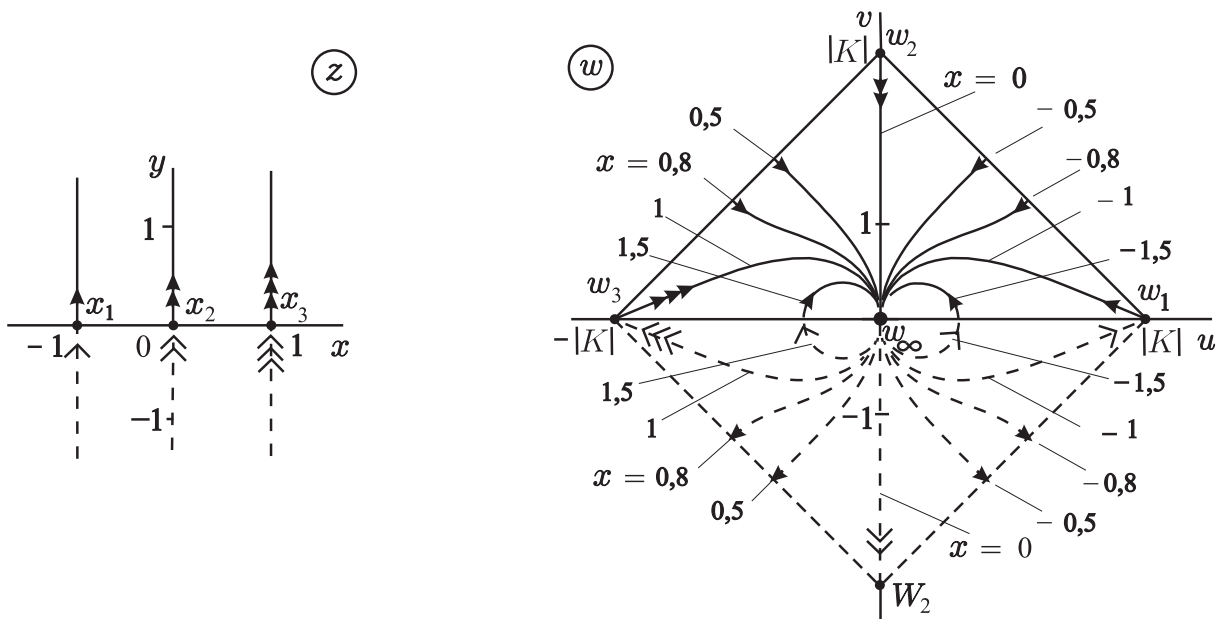
In figure 13 we see that the images of  $R^+$  and  $R^-$  are two equilateral triangles. The horizontal sides coincide, and are the images of  $R^+$  and  $R^-$  with  $x > x_2$ .

Similarly as in the previous two examples, every horizontal straight line in plane  $z$  has continuous image, as figure 13 shows. And again, not all vertical straight lines in plane  $z$  have continuous image, as figure 14 shows.

## 8 An example of type d

If in (3) with  $n = 3$  we use  $x_1 = -1$ ,  $x_2 = 0$ ,  $x_3 = 1$ ,  $k_1 = \frac{3}{4}$ ,  $k_2 = \frac{1}{2}$ , and  $k_3 = \frac{3}{4}$ , we shall have

being  $K$  a constant and being  $F$  the hypergeometric function as in (14). We choose  $C = 1$  and  $K = i\sqrt{2} F\left(\frac{1}{4}, \frac{3}{4}; \frac{5}{4}; 1\right) \approx 2,62i$ , and obtain images as in figures 15 and 16.



Figuro 16: Vertikalaj rektoj  $x = \text{konst}$  en ebena  $z$ , kaj iliaj imagoj per la mapo (15)  
 Figure 16: Vertical straight lines  $x = \text{konst}$  in plane  $z$ , and their images via the map (15).

En figuro 15 vidu, ke la imagoj de  $R^+$  kaj  $R^-$  estas ortaj trianguloj. La horizontalaj hipotenuzoj koincidas, kaj estas la imagoj de  $R^+$  kaj  $R^-$  kun  $x < x_1$  kaj  $x > x_3$ .

Kiel en antaŭaj tri ekzemploj, ĉiu horizontala rekto en ebena  $z$  havas kontinuan imagon, kiel montras figuro 15. Denove, ne ĉiu vertikala rekto en ebena  $z$  havas kontinuan imagon, kiel montras figuro 16.

In figure 15, see that the images of  $R^+$  and  $R^-$  are rectangular triangles. The horizontal hypotenuses coincide, and are the images of  $R^+$  and  $R^-$  with  $x < x_1$  and  $x > x_3$ .

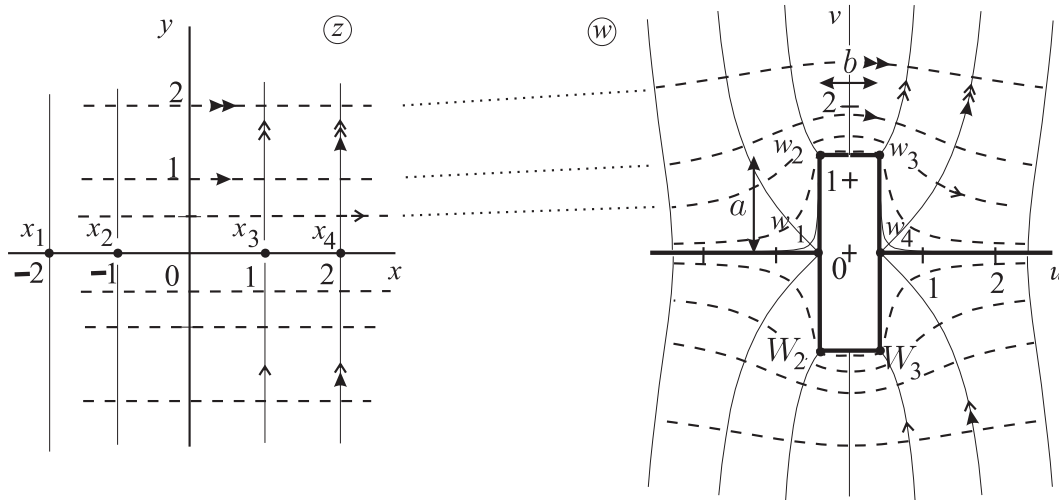
Similarly as in the previous three examples, every horizontal line in plane  $z$  has continuous image, as figure 15 shows. And again, not all vertical lines in plane  $z$  have continuous image, as figure 16 shows.

## 9 Piliero en rivero

En figuroj de 9 al 15 ni vidas, ke la imago, en ebena  $w$ , de linioj  $y = \text{konst}$  el ebena  $z$ , similiĝas al linioj de fluo de iu fluido. Tiu simileco ne estas akcidenta: vere, baza literaturo [1, p. 313] montras ke SC mapo generas liniojn de fluo de fluido limigita per rektaj segmentoj. Ni nun prezentas ekzemplon de mapo SC, kiu simulas la movadon de akvo en kanalo kun ortangula piliero en ĝia bordo; la dimensioj de tiu piliero estas malgrandaj kompare al la larĝo de la kanalo. Ni perceptos, en figuro 17, ke ĉi tiu ekzemplo taŭgas ankaŭ por piliero en mezo de kanalo.

## 9 A pillar in a river

In figures from 9 to 15 we see that the image of the horizontal lines  $y = \text{konst}$ , in plane  $w$ , resemble lines of flow of some fluid. This resemblance is not accidental: indeed, basic texts [1, p. 313] show that an SC map generates lines of flow of fluid bounded by straight segments. We now present an example of SC map which simulates the motion of water in a channel with a rectangular pillar on its boundary; the dimensions of this pillar are small in comparison with the width of the channel. We shall perceive, in figure 17, that this example serves also for a pillar in the middle of a channel.



Figuro 17: La supera (malsupera) duon-ebeno de  $z$  estas mapita en la supera (malsupera) duon-ebeno de  $w$  per (16).

Figure 17: The upper (lower) half-plane of  $z$  is mapped into the upper (lower) half-plane of  $w$  via (16).

Por havi la ortan formon ni uzas kvar ortangulojn:  $k_1 = k_4 = 1/2$  kaj  $k_2 = k_3 = -1/2$ . Ni elektas konvenajn  $x_i$  kaj  $C$ :  $x_1 = -2$ ,  $x_2 = -1$ ,  $x_3 = 1$ ,  $x_4 = 2$ ,  $C = 1$ . Tiel (3) donas

To have the rectangular form we use four right angles:  $k_1 = k_4 = 1/2$  and  $k_2 = k_3 = -1/2$ . We choose convenient  $x_i$  and  $C$ :  $x_1 = -2$ ,  $x_2 = -1$ ,  $x_3 = 1$ ,  $x_4 = 2$ ,  $C = 1$ . So (3) gives

$$\frac{dw}{dz} = \frac{1}{(z+2)^{1/2}(z+1)^{-1/2}(z-1)^{-1/2}(z-2)^{1/2}} = \left(\frac{z^2-1}{z^2-4}\right)^{1/2} \Rightarrow w(z) = E(z/2, 2) + K, \quad (16)$$

kie  $E$  estas la nekompleta eliptika integralaĵo de dua tipo [4, p. 170],

where  $E$  is the incomplete elliptical integral of second type [4, p. 170],

$$E(Z, k) = \int_0^Z \frac{\sqrt{1-k^2\zeta^2} d\zeta}{\sqrt{1-\zeta^2}}. \quad (17)$$

La grandoj  $a := v_2 - v_1$  kaj  $b := u_3 - u_2$  de la piliero estas

The dimensions  $a := v_2 - v_1$  and  $b := u_3 - u_2$  of the pillar are

$$a = \int_1^2 \sqrt{\frac{x^2-1}{4-x^2}} dx \approx 1,3 \quad \text{and} \quad b = \int_{-1}^1 \sqrt{\frac{1-x^2}{4-x^2}} dx \approx 0,8. \quad (18)$$

Figuro 17 respondas al valoro  $K = 1,3i$  en ekv. (16), kaj montras imagojn de kelkaj horizontalaj kaj vertikalaj rektoj en ebena  $z$ . Tiu figuro estas pripensebla je du eblecoj: piliero je mezo de kanalo, kaj piliero ĉe bordo de kanalo. Fakte, se ni forigas la suban duon-

Figure 17 corresponds to the value  $K = 1,3i$  in eq. (16), and shows images of some horizontal and vertical lines in plane  $z$ . This figure can be thought under two possibilities: pillar in middle of the channel, and pillar on the border of the channel. Indeed, if we eliminate the



ebenon de  $w$ , tiel la supera duon-ebeno montras pilieron ĉe bordo de kanalo.

## 10 Komentoj

La uzado de ne-entjeraj potencoj  $k_i$  en (3) kaj (4) necesigas konvencion por angulo de komplekso. Ĉi tie ni proponis, ke anguloj estu montritaj en la intervalo  $(-\pi, \pi]$ ; tio multe faciligas havigi imagojn de rektoj  $R^-$  (sekcio 4). Tamen, ĉi tiu konvencio ne estas universala; aliaj intervaloj ofte uzitaj estas  $[0, 2\pi)$  kaj  $(-\pi/2, 3\pi/2]$ , ekzemple. Se iu el tiuj alternativaj konvencioj estas uzita, nia formulo (9) de angulo de derivaĵo necesigas modifon, same kiel la analizo farita en sekcio 4.

Plue, la konvencio  $\alpha \in (-\pi, \pi]$  ne sufiĉas por precizigi la transformon  $w(z)$  kiel en (3). Fakte, ankoraŭ estas iuj elektoj kiojn ni devas fari por havi la solvon kion ni volas. Ekzemple, se iu eksponento  $k_i$  estas  $m/n$ , kie  $m$  kaj  $n$  estas interprimoj (2 kaj 9, ekzemple), tiam  $(z - x_i)^{m/n}$  havas  $n$  malsamajn eblajn orientiĝojn, el kiuj nur unu eble interesas al ni. En ĉi tiu teksto ni elektis ke la angulo  $\angle(z - x_i)^{k_i}$  estas  $k_1 \angle(z - x_i)$ .

## 11 Konkludo

Komencante pri harmoniaj funkcioj, ni difinis SC mapojn. La interesa aspekto de tiaj mapoj estas ke iliaj bordoj estas rektaj segmentoj. Ni tiam eksploris plurajn eblecojn de segmentoj, kaj klasifikis ilin je kvar tipoj: a, b, c, d. Ni montris ekzemplon el ĉiu tipo kaj poste ni komentis, ke tiaj mapoj memorigas nin pri movado de fluido. Tiam ni pripensis pli interesan ekzemplon de piliero en rivero, faritan per SC mapo.

Krom tiuj fizikaj aspektoj de SC mapoj, ni detale pridiskutis la difinon de angulo en tiuj mapoj. Tiu diskuto enmiksigis tra nia tuta artikolo. En sekcio 10 ni revenis al tiu

lower half-plane of  $w$ , then the upper half-plane shows a pillar on the border of the channel.

## 10 Comments

The use of non-integer powers  $k_i$  in (3) and (4) forces a convention for angle of a complex. Here we proposed that the angles be shown in the interval  $(-\pi, \pi]$ ; this greatly facilitates obtaining images of straight lines  $R^-$  (section 4). However, this convention is not universal; other intervals often used are  $[0, 2\pi)$  and  $(-\pi/2, 3\pi/2]$ , for example. If any of these alternative conventions is used, our formula (9) for angle of the derivative needs a modification, as well as the analysis made in section 4.

More, the convention  $\alpha \in (-\pi, \pi]$  does not suffice to disambiguate the transformation  $w(z)$  as in (3). Indeed, there are still some choices that we must make to have the solution we want. For example, if some exponent  $k_i$  is  $m/n$ , where  $m$  and  $n$  are coprimes (2 and 9, say), then  $(z - x_i)^{m/n}$  has  $n$  different possible orientations, among which only one possibly is of our interest. In this text we chose the angle  $\angle(z - x_i)^{k_i}$  to be  $k_1 \angle(z - x_i)$ .

## 11 Conclusion

Starting with harmonic functions, we defined SC maps. The most interesting feature of such maps is that their boundaries are straight segments. We then explored several possibilities of segments, and classified them into four types: a, b, c, d. One example of each type was shown, and we commented that such maps resemble motion of fluids. We then imagined a more interesting example, that of a pillar in a river, via an SC map.

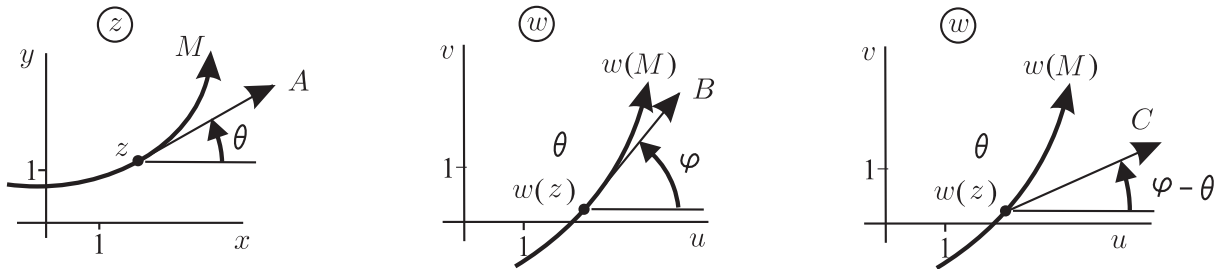
Besides these physical aspects of SC maps, we discussed in detail the definition of angle in these maps. This discussion permeated all our article. In section 10 we came back to that

diskuto kaj aldonis eĉ pli da detalojn.

En sekvanta artikolo ni plu eksploras modeladon de fluido per SC mapoj. Ni donos pli interesajn ekzemplojn kaj studos kinematikajn detalojn kiel rapido, ktp.

## A Notoj pri $dw(z)/dz$

Bonkonate, en studo de realaj funkcioj  $f(x)$ , la valoro de derivaĵo  $df(x)/dx$  en ĉiu punkto  $x$  estas la valoro de trigonometria tangento de angulo inter rekto tangenta al kurbo  $y = f(x)$  kaj akso  $x$ . Populare,  $dy(x)/dx = \tan \theta$ . Demando: kion oni povas diri pri la responda derivaĵo  $dw(z)/dz$ , en okazo de funkcioj  $w(z)$  analitikaj kompleksaj?



Figuro 18: Maldestre, ebena  $z$  kun orientita kurbo  $M$  kaj geometria tangento  $A$  en punkto  $z$ . Centre, ebena  $w$  kun orientita imaga kurbo  $w(M)$  kaj geometria tangento  $B$  en imaga punkto  $w(z)$ . Dekstre, la orientiĝo  $C$  de la kompleksa nombro  $dw/dz$  en la imaga punkto  $w(z)$ .  
Figure 18: On the left, plane  $z$  with oriented curve  $M$  and the geometric tangent  $A$  at point  $z$ . On the center, plane  $w$  with the oriented image  $w(M)$  and the geometric tangent  $B$  at the image point  $w(z)$ . On the right, the orientation  $C$  of the complex number  $dw/dz$  at the image point  $w(z)$ .

Indas pliprecizigi la demandon. Vidu, en figuro 18, orientitan kurbon  $M$  en kompleksa ebena  $z$ , kaj estu donata analitika funkcio  $w(z)$ ; tiam ni havos, en la kompleksa ebena  $w$ , la orientitan kurbon  $w(M)$ , imagon de la kurbo  $M$ . Elektante punkton  $z$  en kurbo  $M$ , ni volas vidaĵon de la kompleksa nombro  $dw(z)/dz$  en la imaga punkto  $w(z)$ .

Komence ni elektas punkton  $z + dz$  en la kurbo  $M$ , najbare al la punkto  $z$ ; la imagoj de tiuj punktoj estas  $w(z)$  kaj  $w(z + dz)$ , ambaŭ lokitaj en la imaga kurbo  $w(M)$ . Ni serĉas la vidaĵon de la kvociento (kompleksa

discussion, and even presented more details.

In a next article we shall explore more the modeling of fluids via SC maps. We shall give more interesting examples and shall study kinematical details such as velocities, etc.

## A Notes on $dw(z)/dz$

As is well known, in the study of real functions  $f(x)$ , the value of the derivative  $df(x)/dx$  in each point  $x$  is the value of the trigonometric tangent of the angle between the straight line tangent to the curve  $y = f(x)$  and the  $x$ -axis. Popularly,  $dy(x)/dx = \tan \theta$ . Question: what can be said about the corresponding derivative  $dw(z)/dz$ , in case of the complex analytical functions  $w(z)$ ?

It is worth better explain the question. In figure 18, see an oriented curve  $M$  in complex plane  $z$ , and let be given an analytic function  $w(z)$ ; then we shall have, in the complex plane  $w$ , the oriented curve  $w(M)$ , image of curve  $M$ . Selecting a point  $z$  in curve  $M$ , we want a visualization of the complex number  $dw(z)/dz$  at the image point  $w(z)$ .

We initially select a point  $z + dz$  on curve  $M$ , neighbor to the point  $z$ ; the images of these points are  $w(z)$  and  $w(z + dz)$ , both on the image curve  $w(M)$  on plane  $w$ . We want a visualization of the quotient (a complex number)

nombro)  $dw/dz = [w(z + dz) - w(z)]/dz$ .

La infinitezima vektoro  $dz$  estas orientita kiel la geometria tangento  $A$  al la kurbo  $M$  en la punkto  $z$ . Simile, la infinitezima vektoro  $dw = w(z + dz) - w(z)$  estas orientita kiel la geometria tangento  $B$  al la imaga kurbo  $w(M)$  en la imaga punkto  $w(z)$ . Tial la modulo de  $dw/dz$  estas la kvociento de la moduloj de tiuj infinitezimaj vektoroj, kaj la orientiĝo de  $dw/dz$  estas la diferenco de la respondaj orientiĝoj; tio estas,  $\angle(dw/dz) = \angle dw - \angle dz = \varphi - \theta$ . Figure 18 montras la orientiĝon  $C$  de la kompleksa nombro  $dw(z)/dz$ .

Do la vektoro  $dw(z)/dz$  ĝenerale ne estas same orientita kiel la geometria tangento  $B$  al imaga kurbo  $w(M)$ . Por ke la du orientiĝoj koincidas, bezonas okazi  $\theta = 0$ , tio estas,  $A$  bezonas esti *horizontala*. Okazas, ke linioj  $R^+$  kaj  $R^-$  en transformoj de Schwarz-Christoffel estas horizontalaj rektoj, tiam la angulo de la derivaĵo  $dw/dz$  koincidas kun la klino de la imago de tiuj rektoj; ĉi tiu fakto estis uzita en sekcioj 3 kaj 4.

## Citaĵoj

- [1] F.B. Hildebrand, *Advanced Calculus for Engineers*, Prentice -Hall, Inc. (1957);
- [2] Konrad Knopp, *Teoría de Funciones*, Editorial Labor, S.A. (1956);
- [3] Tristan Needham, *Visual Complex Analysis*, Clarendon Press-Oxford (1997);
- [4] H.B. Dwight, *Tables of integrals and other mathematical data*, 4<sup>th</sup> Ed. (1961).

$dw/dz = [w(z + dz) - w(z)]/dz$ .

The infinitesimal vector  $dz$  has the orientation of the geometric tangent  $A$  to the curve  $M$  at point  $z$ . Similarly, the infinitesimal vector  $dw = w(z + dz) - w(z)$  has the orientation of the geometric tangent  $B$  to the image curve  $w(M)$  at the image point  $w(z)$ . Thus the modulus of  $dw/dz$  is the quotient of the moduli of these infinitesimal vectors, and the orientation of  $dw/dz$  is the difference between the correspondent orientations; that is,  $\angle(dw/dz) = \angle dw - \angle dz = \varphi - \theta$ . Figure 18 shows the orientation  $C$  of the complex number  $dw(z)/dz$ .

Thus the vector  $dw(z)/dz$  has not, in general, the same orientation as the geometric tangent  $B$  to the image curve  $w(M)$ . In order the two orientations coincide, it must happen  $\theta = 0$ , that is,  $A$  need be *horizontal*. It happens that the straight lines  $R^+$  and  $R^-$  in Schwarz-Christoffel transformations are horizontal, so the angle of the derivative  $dw/dz$  coincides with the inclination of the image of these straight lines; this fact was used in sections seções 3 and 4.